

# 新型实用电子电路

400例

何希才 伊兵 杜煜



电子工业出版社  
PUBLISHING HOUSE OF ELECTRONICS INDUSTRY  
URL:<http://www.phei.com.cn>

# 新型实用电子电路 400 例

何希才 伊兵 杜煜 编著

電子工業出版社

Publishing House of Electronics Industry

## 内 容 简 介

本书精选了作者实践中总结的实用电路 400 多例, 内容包括转换电路、振荡电路、运放应用电路、传感器应用接口电路、电动机控制电路、充电器电路以及电源电路等。电路结构合理、设计新颖、性能优良。

本书内容丰富, 资料齐全, 既可作为电子电路设计者的参考书, 又可作为工程技术人员的实用电路手册, 也是大专院校电子专业师生的参考书。

### 图书在版编目(CIP)数据

新型实用电子电路 400 例 / 何希才等编著。 - 北京 : 电子工业出版社, 1998.8

ISBN 7-5053-4738-1

I . 新… II . 何… III . 电子电路-汇编 IV . TN710

中国版本国书 CIP 数据核字(98)第 08203 号

书 名: 新型实用电子电路 400 例

著 者: 何希才等

责任编辑: 王晟

印 刷 者: 北京兴华印刷厂

装 订 者: 三河市双峰装订厂

出版发行: 电子工业出版社出版、发行 URL: <http://www.phei.com.cn>

北京市海淀区万寿路 173 信箱 邮编 100036 发行部电话 68214070

经 销: 各地新华书店经销

开 本: 787 × 1092 1/16 印张: 17 字数: 420 千字

版 次: 1998 年 6 月第 1 版 1998 年 6 月第 1 次印刷

书 号: ISBN 7-5053-4738-1  
TN·1155

定 价: 25.00 元

凡购买电子工业出版社的图书, 如有缺页、倒页、脱页者, 本社发行部负责调换。

版权所有·翻印必究

# 目 录

|            |                  |      |
|------------|------------------|------|
| <b>第一章</b> | <b>集成电路的基本应用</b> | (1)  |
| 1-1        | 运算放大器的基本应用       | (1)  |
| 1-2        | 集成 IC 门电路的基本应用   | (4)  |
| 1-3        | D 触发器的基本应用       | (7)  |
| 1-4        | 计数器的基本应用         | (9)  |
| 1、         | 概述               | (9)  |
| 2、         | 异步计数器的应用         | (10) |
| 3、         | 同步计数器的应用         | (12) |
| 4、         | 可逆计数器的应用         | (12) |
| 1-5        | 译码器的基本应用         | (13) |
| 1、         | 概述               | (13) |
| 2、         | 显示译码器            | (14) |
| 3、         | 数码译码器            | (15) |
| 4、         | CD4017 的应用       | (17) |
| 1-6        | 移位寄存器的应用         | (18) |
| 1、         | 概述               | (18) |
| 2、         | 串入 - 串出移位寄存器     | (18) |
| 3、         | 串入 - 并出移位寄存器     | (19) |
| 4、         | 4 位双向通用移位寄存器     | (20) |
| 1-7        | CMOS 模拟开关的应用     | (21) |
| 1-8        | CMOS 电路使用注意事项    | (22) |
| 1、         | 电源               | (22) |
| 2、         | 驱动能力             | (22) |
| 3、         | 多余输入端的处理         | (22) |
| 4、         | 输入端长线时的保护        | (23) |
| 5、         | CMOS 与运放的接口方法    | (23) |
| 1-9        | 555 时基电路的基本应用    | (23) |
| 1、         | 555 定时器的基本结构     | (23) |
| 2、         | 555 定时器的工作过程     | (25) |
| 3、         | 555 定时器的基本应用     | (25) |
| <b>第二章</b> | <b>运放应用电路</b>    | (29) |
| 2-1        | 低失真 10W 音频功率放大器  | (29) |

|            |                                |             |
|------------|--------------------------------|-------------|
| 2-2        | 通用运放构成的高电压电路 .....             | (30)        |
| 2-3        | 采用功率运放构成的音频放大器 .....           | (31)        |
| 2-4        | 仪用差动放大器 .....                  | (33)        |
| 2-5        | 可编程增益放大器 .....                 | (35)        |
| 2-6        | 带输出电流缓冲器的前置放大器 .....           | (35)        |
| 2-7        | 低噪声磁头放大器 .....                 | (38)        |
| 2-8        | 0.3W 的音频功率放大器.....             | (39)        |
| 2-9        | 2W 音频功率放大器.....                | (41)        |
| 2-10       | 采用 LM1877 的 2W×2 功率放大器.....    | (41)        |
| 2-11       | 10W 的音频功率放大器.....              | (42)        |
| 2-12       | 电压反馈型高速宽带放大器.....              | (43)        |
| 2-13       | 电流反馈型运放构成的高速宽带放大器.....         | (44)        |
| 2-14       | 适用于容性负载的宽带放大器.....             | (45)        |
| 2-15       | 宽带 VCA 电路 .....                | (46)        |
| 2-16       | 峰值保持电路.....                    | (47)        |
| 2-17       | 运放构成的最大值与最小值选取电路.....          | (49)        |
| 2-18       | 运放构成的整流电路.....                 | (50)        |
| 2-19       | 运放输出限幅电路.....                  | (51)        |
| 2-20       | 直流到 4MHz 宽带隔离放大器 .....         | (52)        |
| 2-21       | 恒流输出放大器.....                   | (53)        |
| 2-22       | 数据采集中常用接口电路 .....              | (53)        |
| 2-23       | 输出电压上下限能独立调整的电路.....           | (55)        |
| 2-24       | 输出 7W 的低频功率放大器 .....           | (55)        |
| 2-25       | 输出 100W 的低频 MOS FET 功率放大器..... | (56)        |
| <b>第三章</b> | <b>振荡电路 .....</b>              | <b>(58)</b> |
| 3-1        | 文氏电桥振荡电路 .....                 | (58)        |
| 3-2        | 低失真状态变数型振荡电路 .....             | (58)        |
| 3-3        | RC 相移振荡电路 .....                | (59)        |
| 3-4        | 超低失真率振荡电路 .....                | (60)        |
| 3-5        | 可编程振荡电路 .....                  | (60)        |
| 3-6        | 振荡频率达 1MHz 的二相振荡电路 .....       | (61)        |
| 3-7        | RC 相移三相振荡电路 .....              | (62)        |
| 3-8        | 宽频带正弦波压控振荡器 .....              | (62)        |
| 3-9        | 12 位分辨力的锯齿波振荡电路 .....          | (63)        |
| 3-10       | 任意个阶梯波振荡电路.....                | (64)        |
| 3-11       | PLL 合成器方式时钟脉冲振荡电路 .....        | (64)        |
| 3-12       | 正弦波振荡电路.....                   | (65)        |
| 3-13       | 外同步振荡电路.....                   | (66)        |
| 3-14       | 采用 8038 的函数发生器 .....           | (67)        |
| 3-15       | 压控振荡器(VCO) .....               | (67)        |

|            |                           |       |
|------------|---------------------------|-------|
| 3-16       | 采用 D/A 转换器的信号发生电路         | (69)  |
| 3-17       | 采用微处理机的测试图形发生器            | (69)  |
| 3-18       | 似正弦波产生电路                  | (69)  |
| 3-19       | 阶梯波产生电路                   | (72)  |
| 3-20       | 相位可调电路                    | (73)  |
| 3-21       | 可变脉冲发生器                   | (74)  |
| 3-22       | 单电源锯齿波发生器                 | (75)  |
| 3-23       | 简单的方波与三角波产生电路             | (76)  |
| 3-24       | 反相器构成的正弦波发生器              | (77)  |
| 3-25       | 5Hz ~ 5MHz 的函数发生器         | (78)  |
| 3-26       | 数字锁相环(PLL)电路              | (78)  |
| 3-27       | 采用集成 PLL 构成的 4 倍时钟频率的电路   | (79)  |
| 3-28       | PLL 脉冲发生器                 | (80)  |
| 3-29       | 低失真率二相振荡电路                | (80)  |
| <b>第四章</b> | <b>转换电路</b>               | (82)  |
| 4-1        | 正弦波/方波转换电路                | (82)  |
| 4-2        | 允许接地负载的电压/电流转换电路          | (83)  |
| 4-3        | 电流/电压转换电路                 | (83)  |
| 4-4        | 微小电流/电压转换电路               | (85)  |
| 4-5        | 电压/电流转换电路                 | (86)  |
| 4-6        | 电压/频率(正比例)转换电路            | (87)  |
| 4-7        | 电压/频率(反比例)转换电路            | (88)  |
| 4-8        | 频率/电压转换电路                 | (88)  |
| 4-9        | 湿度/电压转换电路                 | (89)  |
| 4-10       | 湿度/频率转换电路                 | (90)  |
| 4-11       | 交流电压/直流电压转换电路             | (91)  |
| 4-12       | 有效值/直流转換电路                | (92)  |
| 4-13       | 温度/频率转换电路                 | (92)  |
| 4-14       | 双极性频率/电压与电压/频率转换电路        | (93)  |
| 1、         | 双极性频率/电压(F-V)转换电路         | (93)  |
| 2、         | 双极性电压/频率转换电路              | (94)  |
| 4-15       | 宽带平均值检波方式 AC-DC 转换电路      | (95)  |
| 4-16       | 适用于串行控制的 2 位 D/A 转换电路     | (96)  |
| 4-17       | 单电源工作的通用 D/A 转换电路         | (97)  |
| 4-18       | 高精度 D/A 转换电路              | (98)  |
| 4-19       | 串行隔离型 12 位 A/D 转换电路       | (99)  |
| 4-20       | 3V 单电源工作的 12 位 A/D 转换电路   | (100) |
| 4-21       | 视频用 20MHz 的 8 位 A/D 转换电路  | (101) |
| 4-22       | 适用于桥接电路(传感器)的高精度 A/D 转换电路 | (103) |
| 4-23       | 适用于 CCD 的高速双重 A/D 转换电路    | (104) |

|            |  |       |
|------------|--|-------|
| 4-24       | 通用运放构成的 V-F/F-V(电压 - 频率 / 频率 - 电压)转换电路 | (105) |
| 4-25       | 0~10V/1Hz~10kHz 的 V-F/F-V 转换电路         | (106) |
| 4-26       | 0~10V/1Hz~10kHz 的 V-F/F-V 转换集成芯片       | (108) |
| 4-27       | 低频电压/频率和频率/电压转换电路                      | (109) |
| 4-28       | 充电器充电电流测量用电流/电压转换器                     | (110) |
| <b>第五章</b> | <b>电动机驱动电路</b>                         | (111) |
| 5-1        | 直流电动机的驱动电路                             | (111) |
| 1、         | 采用 AN6650 的桥接伺服电路                      | (111) |
| 2、         | 采用 TA7768F 的桥接伺服电路                     | (112) |
| 3、         | 采用 LA5524 的电动机控制电路                     | (112) |
| 4、         | 采用 FG 的电动机恒速控制电路                       | (114) |
| 5、         | 直流电机的 PLL 控制                           | (115) |
| 6、         | 电动机转速的数字控制                             | (119) |
| 5-2        | 步进电动机的驱动电路                             | (119) |
| 1、         | 采用专用集成电路的步进电动机驱动电路                     | (119) |
| 2、         | 步进电动机的微机控制                             | (123) |
| 3、         | 双向 PWM 恒流驱动电路                          | (128) |
| 4、         | 微步进驱动电路                                | (130) |
| 5-3        | 无刷电动机的驱动电路                             | (133) |
| 1、         | 2相半波通电电路的无刷电动机                         | (133) |
| 2、         | 3相无刷电动机的驱动电路                           | (135) |
| 3、         | 2相无刷电动机的驱动电路                           | (138) |
| 4、         | 单相无刷电动机的驱动电路                           | (138) |
| 5、         | 无传感器的无刷电动机驱动电路                         | (141) |
| 5-4        | 电动机的正反转控制电路                            | (141) |
| 1、         | 晶体管构成的电动机正反转控制电路                       | (141) |
| 2、         | 采用运放构成的电动机正反转控制电路                      | (145) |
| 3、         | 伺服表头的定位控制                              | (147) |
| 4、         | 采用桥用集成块的电动机正反转控制电路                     | (147) |
| 5、         | 采用功率模块的电动机正反转控制电路                      | (150) |
| 6、         | 采用 L2-FET 的直流电动机正反转控制电路                | (151) |
| 7、         | 电动机正反转的微机控制电路                          | (151) |
| 5-5        | 交流电动机的驱动电路                             | (154) |
| 1、         | 交流电源驱动直流电动机的电路                         | (154) |
| 2、         | 电动机调速电路                                | (154) |
| 3、         | 电动机的双向晶闸管控制电路                          | (156) |
| 4、         | 感应电动机的控制电路                             | (157) |
| <b>第六章</b> | <b>传感器应用电路</b>                         | (161) |
| 6-1        | 红外线 LED 驱动电路                           | (161) |
| 6-2        | 采用光电晶体管构成的光传感器                         | (161) |

|            |                                 |       |
|------------|---------------------------------|-------|
| 6-3        | 光电传感器的电流放大器电路                   | (162) |
| 6-4        | 光电传感器的电荷放大器电路                   | (163) |
| 6-5        | 热电偶放大器电路                        | (164) |
| 6-6        | 铂热电阻的放大器电路                      | (166) |
| 6-7        | 三线式铂热电阻放大器                      | (167) |
| 6-8        | 超声波振子的驱动电路                      | (168) |
| 6-9        | 超声波发送电路                         | (168) |
| 6-10       | 超声波接收电路                         | (169) |
| 6-11       | LM35 测温接口电路                     | (170) |
| 6-12       | $\mu$ PC616A 的测温电路              | (171) |
| 6-13       | AD590 的测温电路                     | (171) |
| 6-14       | 硅三极管温度传感器接口电路                   | (172) |
| 6-15       | LM194 对管温度传感器接口电路               | (172) |
| 6-16       | 热敏二极管测温接口电路                     | (173) |
| 6-17       | 利用二极管温度特性构成的温度计接口电路             | (175) |
| <b>第七章</b> | <b>充电器电路</b>                    | (176) |
| 7-1        | 镍镉电池充电器电路                       | (176) |
| 7-2        | 镍镉电池快速充电器电路                     | (178) |
| 7-3        | 带放电功能的镉镍充电器电路                   | (182) |
| 7-4        | 通用镉镍电池充电器电路                     | (187) |
| 7-5        | 钟控镍镉电池充电器电路                     | (189) |
| 7-6        | 标准制实用充电器电路                      | (191) |
| 7-7        | 高效率充电器电路                        | (192) |
| 7-8        | 太阳能电池对镍镉电池充电电路                  | (193) |
| 7-9        | 铅蓄电池充电器电路                       | (194) |
| 7-10       | 电池内阻测量电路                        | (196) |
| <b>第八章</b> | <b>新型集成稳压器应用电路</b>              | (198) |
| 8-1        | 集成直流/直流变换器应用电路                  | (198) |
| 8-2        | RH5RC 系列应用电路                    | (200) |
| 8-3        | TL499A 应用电路                     | (201) |
| 8-4        | LT1072 应用电路                     | (203) |
| 8-5        | 微处理机电源                          | (206) |
| 8-6        | RH5RH/I 系列应用电路                  | (209) |
| 8-7        | RX5RL/RX5RE 系列应用电路              | (210) |
| 8-8        | BA178FP/BA00FP 系列应用电路           | (212) |
| 8-9        | LT1584/1585/1587 应用电路           | (213) |
| 8-10       | LTC1159 应用电路                    | (214) |
| 8-11       | HA16114P/FP, 16120FP 系列应用电路     | (215) |
| 8-12       | TPS7101Q/7113Q/7148Q/7150Q 应用电路 | (217) |
| 8-13       | RS5RM/J 系列应用电路                  | (218) |

|            |                                   |              |
|------------|-----------------------------------|--------------|
| 8-14       | FA76 系列应用电路 .....                 | (219)        |
| 8-15       | FA53 系列应用电路 .....                 | (223)        |
| 8-16       | M62213FP 应用电路 .....               | (225)        |
| 8-17       | $\mu$ PC1943/1944 应用电路 .....      | (227)        |
| 8-18       | RS5VE 系列应用电路 .....                | (228)        |
| 8-19       | FA5331P/M 应用电路 .....              | (230)        |
| 8-20       | TPS2010/2011/2012/2013 应用电路 ..... | (231)        |
| 8-21       | LTC1325 应用电路 .....                | (232)        |
| 8-22       | LTC1472 的应用电路 .....               | (233)        |
| 8-23       | RX5VT/RN5VD 应用电路 .....            | (235)        |
| 8-24       | M62210FP 应用电路 .....               | (236)        |
| 8-25       | 开关稳压电源的典型方式 .....                 | (238)        |
| <b>第九章</b> | <b>定时器电路 .....</b>                | <b>(242)</b> |
| 9-1        | RC 晶体管开关型定时器 .....                | (242)        |
| 9-2        | RC 集成电路定时器 .....                  | (247)        |
| 9-3        | 数字电路定时器 .....                     | (252)        |
| 9-4        | 集成电路专用定时器 .....                   | (254)        |
| <b>第十章</b> | <b>滤波器电路 .....</b>                | <b>(257)</b> |
| 10-1       | 相同常数构成的 24dB/oct 低通滤波器 .....      | (257)        |
| 10-2       | LC 低通滤波器 .....                    | (257)        |
| 10-3       | 8 次低通滤波器 .....                    | (258)        |
| 10-4       | 用一只运放构成的单峰特性滤波器 .....             | (258)        |
| 10-5       | 采用开关电容构成的可调去耦滤波器 .....            | (259)        |
| 10-6       | 同时获得四种特性的滤波器 .....                | (260)        |
| 10-7       | 滤除脉冲/振荡噪声滤波器 .....                | (261)        |
| 10-8       | 电源频率噪声滤波器 .....                   | (261)        |

# 第一章 集成电路的基本应用

## 1-1 运算放大器的基本应用

运算放大器是一种高增益放大器，应用极其广泛。运放一般有三个端子，即同相输入端(+)，反相输入端(-)和输出端。在分析工作原理时都按照理想条件进行：

- ① 开环差模放大倍数为无穷大
- ② 差模输入电阻为无穷大
- ③ 失调电压为零
- ④ 输入电流为零
- ⑤ 输出电阻为零
- ⑥ 上限频率为无穷大
- ⑦ 共模抑制比为无穷大

### (1) 反相放大情况

图 1-1 是反相放大的基本电路，其输入电压与输出电压相反。运放同相输入端接基准电位(地)，输入电压  $E_i$  经  $R_1$  加到反相输入端。这样，反相输入端相对于同相输入端仅是  $E_i$  的变化量。然而，这变化电压立即放大为反极性输出电压。输出电压经  $R_2$  电阻馈送到反相输入端。因此，反相输入端与同相输入端经常保持同电位，即平衡状态。当然，这是认为运放自身的电压放大倍数(开环增益)为无限大，反相输入端电压相对于实际的同相输入端电压，可认为与  $E_i$  同极性，是无限接近于零的电压。

#### ① 电压放大倍数( $A_v$ )

运放反相输入端与地同电位，设流经  $R_1$  的电流为  $i_1$ ，流经  $R_2$  的电流为  $i_2$ ，输入电压为  $E_i$ ，输出电压为  $E_o$ ，则  $i_1 = E_i/R_1$ ,  $i_2 = E_o/R_2$ 。

根据克希霍夫定理， $i_1 + i_2 = 0$ (反相输入端的输入阻抗为无限大，则输入电流为零)，即  $i_1 = -i_2$ ，电压放大倍数  $A_v = \frac{E_o}{E_i} = \frac{R_2 \times i_2}{R_1 \times i_1} = \frac{-(R_2 \times i_1)}{R_1 \times i_1} = -\frac{R_2}{R_1}$  (“-”表示极性相反)。即外接电阻  $R_1$  和  $R_2$  之比值决定电压放大倍数  $A_v$ 。

#### ② 输入电阻( $R_i$ )

这是从输入信号源  $E_i$  看放大电路的电阻，因为  $E_i$  电压产生电流  $i_1$ ，据  $i_1 = E_i/R_i$  知，输入电阻为  $R_i = E_i/i_1 = R_1$ 。需要注意的是，不要让信号源  $E_i$  负载过重，即  $R_1$  值不要选得太小。

#### ③ 输出电阻( $R_o$ )

运放输出内阻非常低。应用时加有负反馈电路，因此，输出电阻可视为零。最大也只有几欧姆以下。

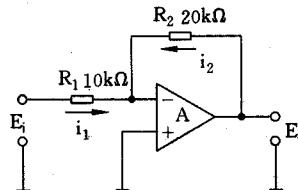


图 1-1 反相放大电路

#### ④ 电压放大倍数( $A_v$ )的频率特性

一般来说,运放自身开环增益非常大,而频率特性较差。用通用运放构成电压放大倍数为10~100倍(20~40dB)的反相放大器,小信号放大时频率约100kHz,而大信号放大时,在频率约10~20kHz,放大倍数开始降低。其它放大电路也有同样倾向。因此,有必要根据应用电路选择不同种类运放。一般来讲,运放消耗电流越大或者 $R_1$ 和 $R_2$ 阻值越小,频率特性越好。

#### (2) 同相放大情况

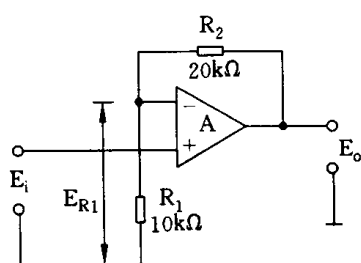


图 1-2 同相输入放大电路

同相放大基本电路如图1-2。输入电压 $E_i$ 与输出电压 $E_o$ 同相位。输入电压 $E_i$ 加在基准电位(地)与同相输入端之间,输出电压 $E_o$ 经 $R_1$ 和 $R_2$ 分压馈送到反相输入端。

#### ① 电压放大倍数( $A_v$ )

考虑到虚地,则同相输入端的输入电压 $E_i$ ,与 $R_1$ 两端电压 $E_{R1}$ 相位相同,大小相等。因而,输入电压 $E_i$ 与输出电压 $E_o$ 之间有下述关系:

$$\frac{R_1}{R_1 + R_2} \times E_o = E_i, \text{ 所以 } A_v = \frac{E_o}{E_i} = 1 + \frac{R_2}{R_1}.$$

由上述可知,同相放大电路的放大倍数 $A_v$ 也由负反馈环里的电阻 $R_1$ 与 $R_2$ 之比值决定。但是,反相放大电路的反相放大倍数 $A_v$ 可能小于1,但同相放大电路的放大倍数 $A_v$ 不可能小于1。

#### ② 输入电阻( $R_i$ )

同相放大电路的输入电压 $E_i$ 加在同相输入端与地之间。因此,从输入信号源 $E_i$ 看输入电阻 $R_i$ ,它等于运放同相输入端的输入电阻。一般来说,这电阻非常大(MΩ以上)。输出电阻 $R_o$ 、频率特性与反相放大电路基本相同。

#### (3) 差动放大电路

图1-3为差动放大电路。这种电路可看作是反相放大电路和同相放大电路的组合,参见图1-4。

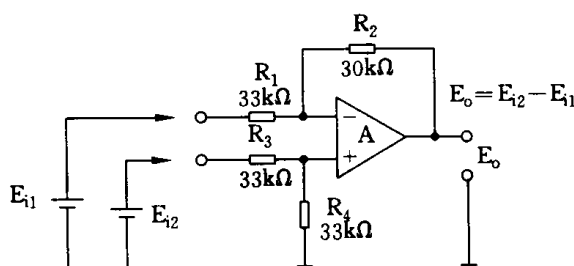


图 1-3 差动输入放大电路

先设同相输入端的电压 $E_{i2}=0$ 。若忽略 $E_{i2}$ 的内阻,这时图1-3所示的电路可以看成为图1-4(a)所示的反相放大电路。同相输入端与地之间并联接入电阻 $R_3$ 和 $R_4$ ,因为同相输入端的输入电阻非常大,同相输入端可认为直接接地。 $E_{i1}$ 的相应的放大电压为 $E_{o1}$ ,它与 $E_{i1}$ 的相位相反,大小由 $R_1$ 和 $R_2$ 之比值定,即 $E_{o1} = A_v \times E_{i1} = (R_2/R_1)E_{i1}$ 。

再设反相输入端的输入电压 $E_{i1}=0$ ,可看作图1-4(b)所示的电路,它是 $E_{i2}$ 通过 $R_3$ 和 $R_4$ 分得的电压 $E_{R4}$ 作为运放的输入电压,再把 $E_{R4}$ 进行放大的同相放大电路。当然, $E_{i1}$ 的内阻可以忽略,对于 $E_{R4}$ 的放大倍数 $A_{v2} = E_o/E_{i2} = 1 + (R_2/R_1)$ 。因此, $E_{i2}$ 放大后的电压 $E_{o2} = A_{v2} \times E_{R4}$ 。

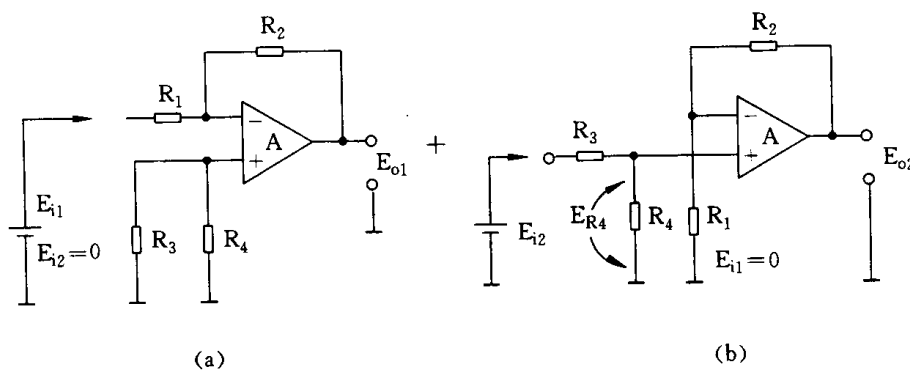


图 1-4 差动放大电路看作反相放大电路和同相放大电路的组合

(a) 看作反相放大电路 ;(b) 看作同相放大电路

**① 差动放大电路的输出电压( $E_o$ )**

现分析  $E_{i1}$  和  $E_{i2}$  都不为零时的输出电压  $E_o$ 。限于运放工作在有效电压范围内,可用重叠原理得  $E_o = E_{o1} + E_{o2}$ , 而  $E_{o1} = -(R_2/R_1)E_{i1}$ ,  $E_{o2} = [(R_1+R_2)/R_1 \cdot R_4/(R_3+R_4)]E_{i2}$ , 特别在  $R_1=R_2=R_3=R_4$  时,  $E_o = E_{i2} - E_{i1}$ 。

**② 从  $E_{i1}$  和  $E_{i2}$  看差动放大电路的输入电阻**

从  $E_{i2}$  看, 输入电阻就是  $R_3+R_4$ 。当然, 同相输入端的输入电阻为无限大。从  $E_{i1}$  看, 输入电阻求法稍微复杂一些。如果  $E_{i2}=0$ , 从  $E_{i1}$  看, 输入电阻等于  $R_1$ 。这是因为反相输入电压等于地电位。

然而,  $E_{i2} \neq 0$ , 反相输入端电压等于  $E_{R4}$ , 因此,  $E_{i1}$  形成的电流经  $R_1$  流入反相输入端, 它随着  $E_{i1}$  于  $E_{i2}$  电压差向着增大方向变化。特别是  $E_{i1}$  为较大的正电压,  $E_{i2}$  为较大的负电压, 或者反之, 从  $E_{i1}$  看, 反相输入端的输入电阻远小于  $R_1$ 。

**(4) 电压跟随器**

电压跟随器是输入阻抗高, 输出阻抗近似为零, 电压放大倍数  $A_v=1$  的同相放大电路。它无放大作用, 只进行阻抗变换, 因此, 常用作缓冲放大器。

电压跟随器电路如图 1-5 所示, 输出电压全部反馈到反相输入端, 即 100% 的负反馈。这种电路容易自激, 为防止跟随器自激, 有的在运放内加有相位补偿电路, 或者外接产品目录中规定容量的补偿电容。

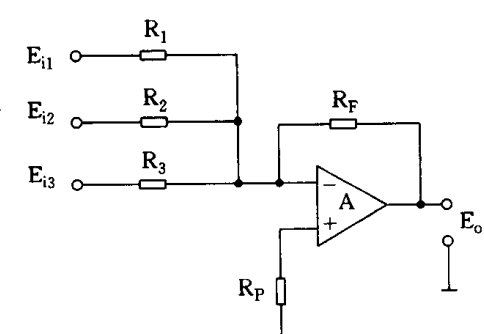
**(5) 反相输入求和电路**

图 1-6 反相输入求和电路

电路如图 1-6 所示。设反相输入端有三个输入信号  $E_{i1}, E_{i2}, E_{i3}$ 。根据叠加原理, 输出电压  $E_o$  可看作每个信号分别单独作用时产生的输出之和。

$$\text{则 } E_o = -\left(\frac{R_F}{R_1}E_{i1} + \frac{R_F}{R_2}E_{i2} + \frac{R_F}{R_3}E_{i3}\right)$$

**(6) 同相输入求和电路**

电路如图 1-7 所示。设同相端有三个输入信号  $E_{i1}, E_{i2}, E_{i3}$ , 根据基本的同相放大器输入和输出关系可知

$$E_o = \left(1 + \frac{R_F}{R_f}\right) E_B$$

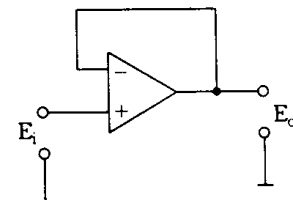


图 1-5 电压跟随器

同相端电位  $E_B = I_B R_B$

同相输入的总电流  $I_B$  为各个输入支路电流的总和, 即

$$I_B = \frac{E_{i1}}{R_1} + \frac{E_{i2}}{R_2} + \frac{E_{i3}}{R_3}$$

而同相端总的输入回路电阻  $R_B$  为各个输入回路电阻的并联值, 即

$$R_B = R_1 // R_2 // R_3$$

所以, 将  $I_B, R_B$  代入上式即得同相求和电路的输入和输出关系式

$$E_o = (1 + \frac{R_f}{R_i})(R_1 // R_2 // R_3)(\frac{E_{i1}}{R_1} + \frac{E_{i2}}{R_2} + \frac{E_{i3}}{R_3})$$

### (7) 求和积分电路

电路如图 1-8 示。电路中的反馈元件为电容  $C_F$ 。由于反相输入端为虚地, 电容  $C_F$  的充电电流  $I_F$  与输入信号电压成正比, 且  $I_F$  等于各输入回路支路电流的总和。电容  $C_F$  两端的电压即等输出电压  $E_o$ 。因为电容电压不能突变, 使输出电压的变化落后于输入电压的变化。在控制电路中有抑制系统振荡的作用。整流器控制电路中的误差放大器就采用了类似的电路。

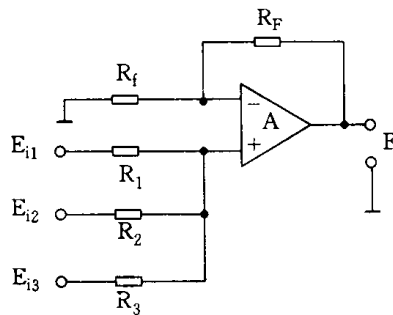


图 1-7 同相输入求和电路

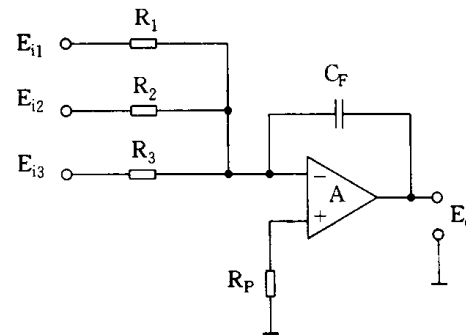
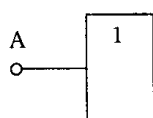


图 1-8 求和积分电路

## 1-2 集成 IC 门电路的基本应用

基本的门电路有非门、或门及与门三种电路, 在数字电路中, 电路一般有高、低电平两种



状态, 即“1”和“0”, 非门的功能是输入高电平时输出低电平; 当输入低电平时输出高电平。即输入输出关系是相反的。非门的逻辑符号如图 1-9 所示, A 是输入, Q 是输出, 写成逻辑表达式即为  $Q = \bar{A}$ , 其中 A 上面一横代表“相反”的意思。图 1-10 是 6 非门集成电路 CD4069 的管脚图。

图 1-9 非门的逻辑符号

图 1-11 是 2 个非门组成的脉冲振荡器, 振荡频率  $f = 1/(1.5R_2C_1)$ 。门 2 的输出可以经三极管 VT<sub>1</sub> 驱动发光二极管闪亮; 也可以经三极管 VT<sub>2</sub> 驱动扬声器发声。可以通过改变  $R_2, C_1$  的数值获得不同频率。R<sub>1</sub> 是保护电阻, 一般选  $R_1 > 2R_2$ 。在驱动发光二极管时, 可以选  $R_1 = 1M\Omega, R_2 = 500k\Omega, C_1 = 1\mu F$ ; 驱动扬声器时, 可选  $R_1 = 200k\Omega, R_2 = 100k\Omega, C_1 = 0.01\mu F$ 。

非门一般用来处理数字信号, 但只要适当给它设置偏置工作点, 也可以处理模拟信号。图 1-12 是一个用非门组成的线性放大器, R 是反馈偏置电阻, 它将非门的输入输出端偏置在大约  $1/2V_{DD}$  处, 这样就利用非门在  $1/2V_{DD}$  处附近的一段线性区域来作为线性放大。R 可在几百  $k\Omega \sim$  几十  $M\Omega$  之间选取。电路的电压放大倍数大约有几十倍。为了获得足够的放大倍数, 可以

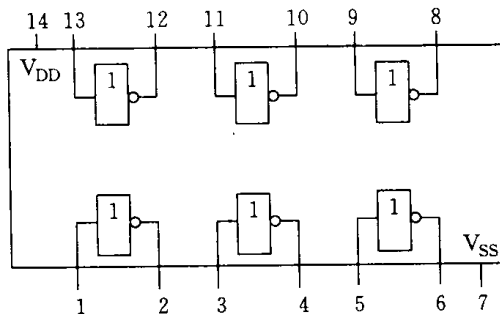


图 1-10 CD4069 的管脚图

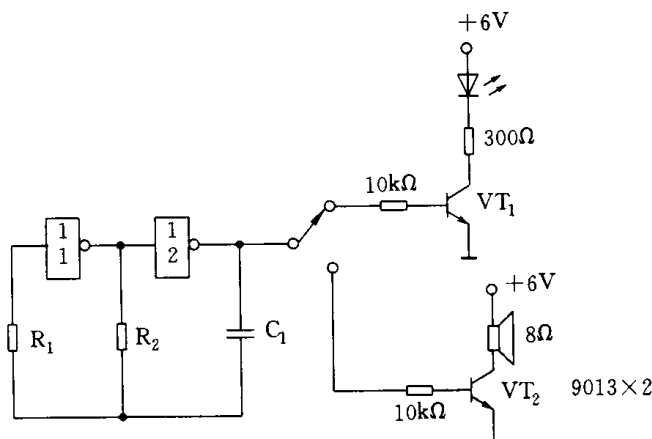


图 1-11 非门组成的振荡器

将几节串联使用。图 1-13 是用来放大 40kHz 超声波信号的线性放大器,由于 CMOS 非门输入阻抗很高,故加入  $R'$  做阻抗匹配和灵敏度调节,放大后的信号由非门输出。

与门是指这个门电路的输出为各个逻辑乘的结果,写成表达式即为  $Q = A \cdot B$ 。其中  $A, B$  是两个输入,当然可有多个

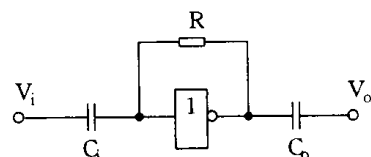


图 1-12 非门组成的线性放大器

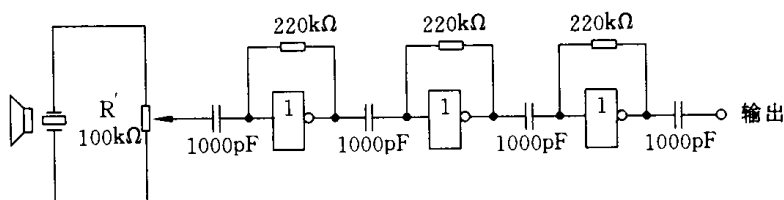


图 1-13 超声波信号线性放大器

输入。只有  $A, B$  均为高电平 1 时,  $Q$  才为高电平 1,  $A, B$  当中只要有一个为 0, 则  $Q$  即为 0。列成表格如表 1-1 所示, 称为真值表。或门是指门电路的输出为各个输入逻辑加的结果, 表达式为  $Q = A + B$ , 真值表如表 1-2 所示。如果在与门或者或门的输出端分别加一级非门, 就成为与非门或者或非门。这些门电路的逻辑符号如图 1-14 所示。

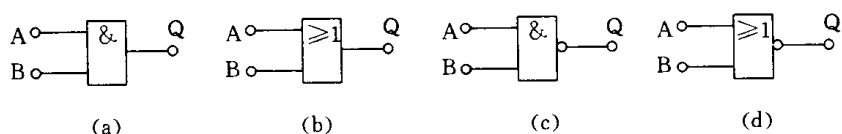


图 1-14 门电路的逻辑符号

(a) 与门; (b) 或门; (c) 与非门; (d) 或非门

表 1-1 与门的真值表

| A | B | Q |
|---|---|---|
| 0 | 0 | 0 |
| 0 | 1 | 0 |
| 1 | 0 | 0 |
| 1 | 1 | 1 |

表 1-2 或门的真值表

| A | B | Q |
|---|---|---|
| 0 | 0 | 0 |
| 0 | 1 | 1 |
| 1 | 0 | 1 |
| 1 | 1 | 1 |

利用与非门或者或非门可以组成双稳态和单稳态触发器。双稳态触发器是指电路有两个稳定状态,如图 1-15 所示。如果限制  $RS \neq 11$  和  $\bar{RS} \neq 00$ ,则输出要么为  $Q=1, \bar{Q}=0$ ;要么为  $Q=0, \bar{Q}=1$ 。这两种状态都是稳定的,只有改变输入信号状态,才能改变这种状态。

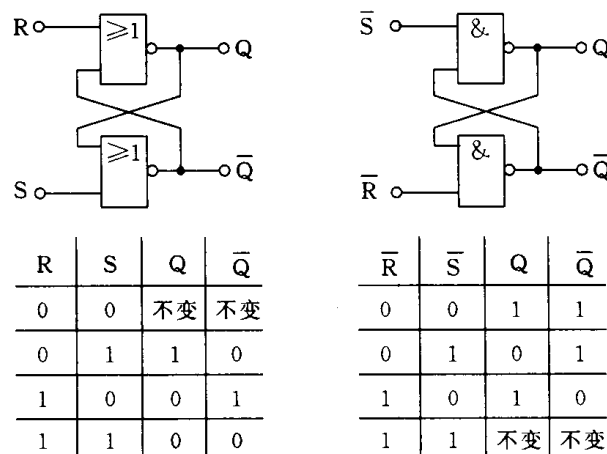


图 1-15 双稳态触发器

图 1-16 示出两种单稳态电路,单稳态电路只有一种稳定状态,在外加脉冲作用下,转到暂稳状态,经过一段时间后又回到原来的稳定状态,时间由外接 R、C 数值决定。

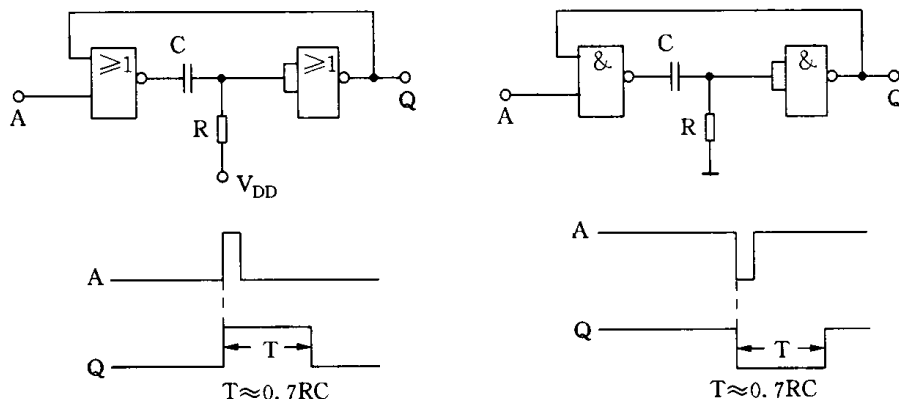


图 1-16 单稳态触发器

用门电路可以组成施密特触发器。施密特触发器可以对脉冲进行整形,可用于电压鉴别等电路中。它具有“滞后”特性,图 1-17 是其符号与输入输出波形以及输入输出关系曲线。其中  $V_{T+}$  称为正向阈值电压,  $V_{T-}$  称为负向阈值电压,  $\Delta V_T = V_{T+} - V_{T-}$  称为滞后电压或回差。图 1-18 是非门组成的施密特触发器,其回差的形成是由于两级非门的正反馈作用。回差电压取决于  $R_1/R_2$ ,此值越大,回差越小。由于非门的特性不会完全一致,所以确切的回差值一般通过实验来确定。

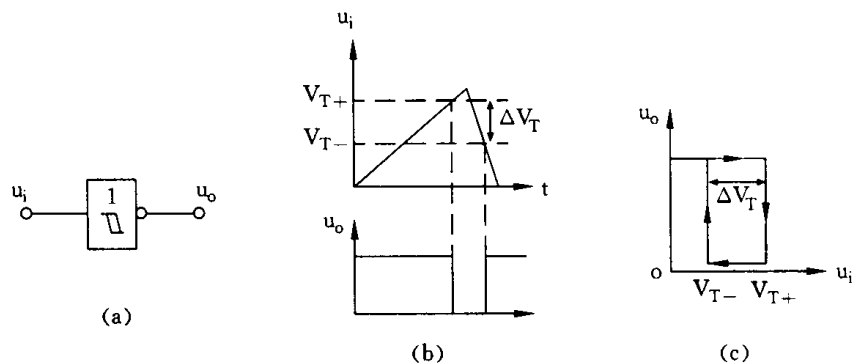


图 1-17 施密特触发器  
(a)符号;(b)输入输出波形;(c)输入输出关系曲线

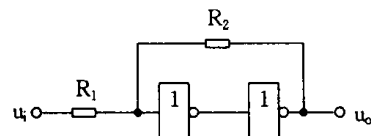


图 1-18 非门组成的施密特触发器

### 1—3 D 触发器的基本应用

数字电路可分为组合电路和时序电路。组合电路的输出状态仅与该时刻的输入有关,其内部没有任何存储信号的单元,例如门电路和译码器等就具有这种特征。时序电路的输出不仅取决于该时刻的输入状态,而且还与前一时刻的输入状态有关,其内部包含存储信号的单元。D 触发器就是一种时序电路单元,例如 CD4013 是一个内有两个独立的 D 触发器。CD4013 的引脚功能如图 1-19 所示,真值表如表 1-3 所示。由真值表可以看出,CD4013 触发器输出状态的改变依赖于时钟脉冲的触发作用,即在时钟脉冲的上升沿,输入数据由数据端(D)传输至输出端(Q)。另外,置位和复位有效电平为高电平,表中的“ $\phi$ ”表示可以是“0”,也可以是“1”。

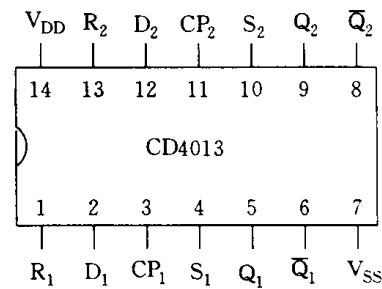


图 1-19 CD4013 的引脚功能

表 1-3 CD4013 触发器真值表

| 输入     |        |   |   | 输出 |           |
|--------|--------|---|---|----|-----------|
| CP     | D      | R | S | Q  | $\bar{Q}$ |
|        | 0      | 0 | 0 | 0  | 1         |
|        | 1      | 0 | 0 | 1  | 0         |
|        | $\phi$ | 0 | 0 | Q  | $\bar{Q}$ |
| $\phi$ | $\phi$ | 1 | 0 | 0  | 1         |

续表

| 输入     |        |   |   | 输出 |   |
|--------|--------|---|---|----|---|
| $\phi$ | $\phi$ | 0 | 1 | 1  | 0 |
| $\phi$ | $\phi$ | 1 | 1 | 1  | 1 |

图 1-20 是 1/2CD4013 组成的双稳态触发器, 将  $\bar{Q}$  端直接接到 D 端, 这样每当有时钟脉冲输入 Q 端便改变一次状态。这也相当于将时钟脉冲进行了 2 分频或计数。如果将多只 D 触发器串联, 并加上一些反馈电路, 则电路就可完成任意整数的分频, 例如图 1-21 就是一个 5 分频电路。

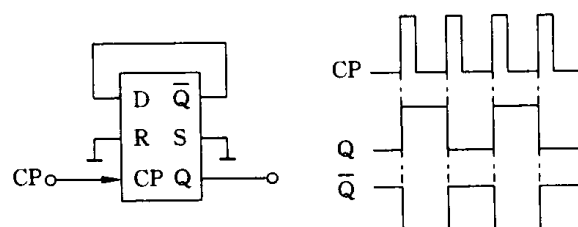


图 1-20 双稳态触发器

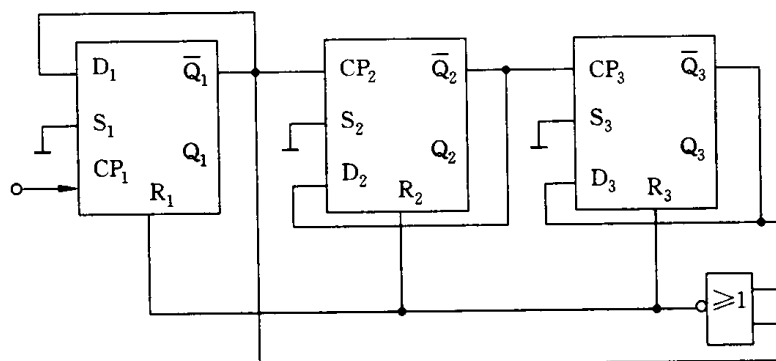


图 1-21 5 分频电路

图 1-22 是用 4 个 D 触发器构成的 4 位数据锁存器。各时钟端并联, 各 D 端作为数据输入, Q 端作为数据输出。在时钟的上升沿, 将数据由 D 端传送到 Q 端。

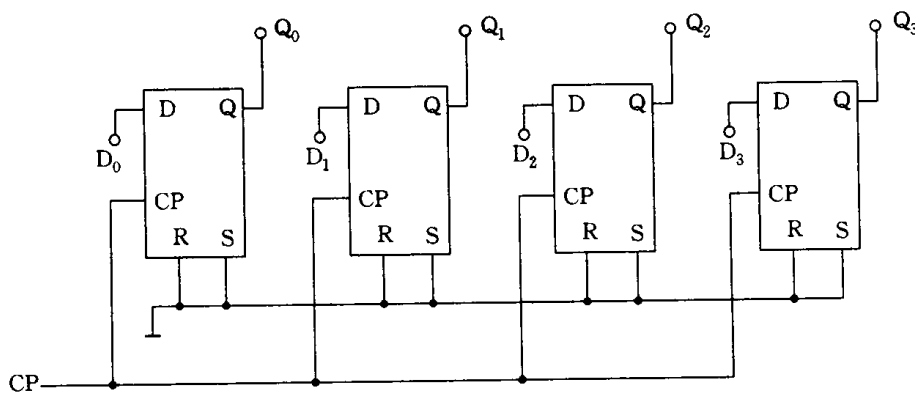


图 1-22 数据锁存器

图 1-23 是用 D 触发器构成的一个四位串入/并出右移移位寄存器。各时钟端并联, 数据从  $D_0$  输入, 前级的 Q 与后级的 D 相接, 每输入一个时钟脉冲, 数据向右依次移一位。